

УДК 548.736

**ЗАКОНОМЕРНЫЕ СВЯЗИ СОСТАВ—СТРУКТУРА—СВОЙСТВА
В РЯДУ СОЕДИНЕНИЙ $Sr_xBa_{1-x}Nb_2O_6$**

© 2009 **В.И. Симонов***

Учреждение Российской академии наук Институт кристаллографии им. А.В. Шубникова РАН, Москва

Статья поступила 12 ноября 2008 г.

На основании структурных исследований кристаллов $Sr_xBa_{1-x}Nb_2O_6$ с разным содержанием стронция и бария установлена структурная обусловленность оптической нелинейности этих кристаллических материалов. При облучении кристаллов лазером YAG:Nd интенсивность второй гармоники излучения монотонно убывает с увеличением в образце стронция. Установлены ответственные за этот эффект тонкие детали структуры.

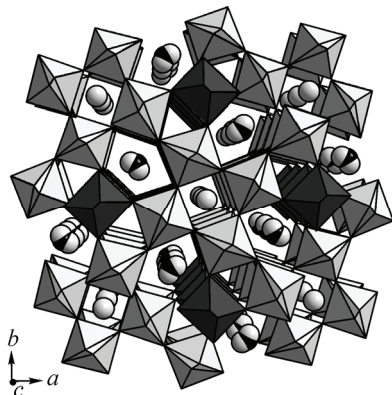
Ключевые слова: оксид Sr, Ba, Nb, атомная структура, физические свойства, кристаллы $Sr_xBa_{1-x}Nb_2O_6$.

Современная техника и высокие технологии нуждаются в новых кристаллических материалах с уникальными физическими свойствами. Для того чтобы уйти от затратного метода проб и ошибок при поиске и синтезе новых кристаллов и при целенаправленной модификации путем изоморфных замещений свойств известных кристаллических материалов, необходимы знания закономерных связей между химическим составом, атомным строением и физическими свойствами конкретных рядов кристаллов. Для установления таких связей необходимо сочетание результатов фундаментальных исследований в областях структурной кристаллографии, кристаллохимии и физики твердого тела. В свое время Г.Б. Бокий рассматривал аналогичные подходы к этой проблеме в монографии [1]. Способность кристаллов преобразовывать одни виды энергии в другие делает их незаменимыми во многих областях техники. Ниже рассматривается семейство ниобатов стронция—бария, физические свойства которых длительное время привлекают внимание исследователей [2—7]. Нелинейные кристаллы $Sr_xBa_{1-x}Nb_2O_6$ обладают важными для применения пьезоэлектрическими, электрооптическими и пироэлектрическими свойствами. Этот материал перспективен и для голограммических записей [8]. В зависимости от соотношения стронция и бария в релаксорных сегнетоэлектриках $Sr_xBa_{1-x}Nb_2O_6$ при сохранении структурного мотива незаполненных вольфрамовых бронз варьируют тонкие структурные детали с параллельным изменением физических свойств этих кристаллических материалов.

СОСТАВ И СТРУКТУРА КРИСТАЛЛОВ $Sr_xBa_{1-x}Nb_2O_6$

В соответствии с диаграммой состояний кристаллы твердых растворов $Sr_xBa_{1-x}Nb_2O_6$ интересующей нас тетрагональной симметрии, как установлено в работе [9], существуют в интервале концентраций $0,32 \leq x \leq 0,82$. ПIONерская работа по определению атомной структуры ниобата стронция—бария была опубликована в 1968 г. [10]. Симметрия кристалла $Sr_{0,75}Ba_{0,25}Nb_2O_{5,78}$ была определена как тетрагональная с группой симметрии $P4bm$ и параметрами электронной ячейки $a = 12,430$, $c = 3,913$ Å, в которой содержится 5 формульных единиц указанного состава. Трехмерный каркас структуры образуют октаэдры $[NbO_6]$, соединенные общими кислородными вершинами. Все атомы O являются мостиковыми и вовлечены в каркас.

* E-mail: simonov@ns.crys.ras.ru



Модель строения кристаллов $\text{Sr}_x\text{Ba}_{1-x}\text{Nb}_2\text{O}_6$. Темные (Nb(1)) и светлые (Nb(2)) октаэдры образуют трехмерный каркас, в каналах которого статистически распределены атомы Ba (черные сферы) и Sr (светлые сферы)

На рисунке представлена модель структуры, в которой два кристаллографически независимых атома Nb. Атомы Nb(1) локализуются в частных позициях на пересечении плоскостей симметрии mm , а атомы Nb(2) находятся в общих положениях и их в 4 раза больше, чем атомов Nb(1). Каркас из октаэдров Nb пронизывает 3 типа каналов, простирающихся параллельно оси симметрии 4. Наиболее узкие каналы треугольного сечения пусты для всех составов соединений $\text{Sr}_x\text{Ba}_{1-x}\text{Nb}_2\text{O}_6$. Средние каналы квадратного сечения всегда заселены статистически только стронцием. В широких каналах пятиугольного сечения статистически локализуется весь барий и часть стронция. На рисунке показано расщепление позиций бария и стронция. В работе [10] такое расщепление обсуждается, но в свое время авторы предпочли расщеплению анизотропии тепловых колебаний этих атомов. В более поздних работах расщепление позиций бария и стронция в широких каналах было фиксировано надежно, а количество кислорода на формульную единицу всегда равно шести.

Изложение структурных особенностей ряда соединений $\text{Sr}_x\text{Ba}_{1-x}\text{Nb}_2\text{O}_6$ естественно начать с крайнего члена этого ряда с минимальным возможным содержанием стронция $\text{Sr}_{0,33}\text{Ba}_{0,67}\text{Nb}_2\text{O}_6$ [11]. В этих кристаллах весь стронций находится в квадратных каналах и заселяет свои позиции на оси 4 статистически с вероятностью 70,5 %. Барий, естественно, находится в широких каналах и локализуется на плоскостях m с вероятностью 84,0 %. Анализ структур с разным соотношением стронция и бария показывает, что суммарная статистическая заселенность двух типов каналов слабо варьирует от кристалла к кристаллу. Так, в соединении $\text{Sr}_{0,50}\text{Ba}_{0,50}\text{Nb}_2\text{O}_6$ [12] заселенность стронцием квадратных каналов реализуется с вероятностью 72,0 %, а широкие каналы заселены барием на 62,3 % и стронцием на 26,2 %, т.е. суммарно на 88,5 %. При этом атомы Sr, ионный радиус которых примерно на 0,2 Å меньше ионного радиуса Ba, находят для себя более удобные позиции, сместившись с плоскости m . По разные стороны от плоскости m они занимают две близкие позиции, каждую с вероятностью 26,2 %: 2 = 13,1 %.

Если говорить о качестве кристаллов $\text{Sr}_x\text{Ba}_{1-x}\text{Nb}_2\text{O}_6$, то лучшими являются кристаллы состава $\text{Sr}_{0,61}\text{Ba}_{0,39}\text{Nb}_2\text{O}_6$, выращенные из расплава конгруэнтного состава. Именно эти кристаллы привлекают максимальное внимание исследователей [13—17]. Во всех этих кристаллах, выращенных и исследованных разными авторами, заселенность квадратных каналов стронцием укладывается в интервал 69,7—72,5 %. Разброс суммарной заселенности барием и стронцием широких каналов варьирует от 87,7 до 89,2 %. В кристаллах с содержанием стронция 0,50, 0,61 и 0,75 [12, 16, 18] средняя заселенность стронцием квадратных каналов оказалось равной 72,0 %, а средняя суммарная заселенность барием и стронцием широких каналов составляет 88,6 %. Максимальные отклонения от этих величин в перечисленных кристаллах составляют 0,5 % как по стронцию, так и по барнию и стронцию.

В табл. 1 приведены основные межатомные расстояния в октаэдрах Nb всех рассмотренных выше кристаллов. Параллельно оси 4 простираются два типа цепочек из октаэдров Nb(1) и Nb(2). В тех и других октаэдры объединяются атомами O, которые с вероятностью 50 % занимают две близкие позиции, что создает впечатление "качающихся" октаэдров. Вдоль этих цепочек регулярно чередуются более сильные и более слабые химические связи —Nb=(O_{0,5}×2)—Nb=(O_{0,5}×2)—, что структурный анализ фиксирует по разнице межатомных расстояний Nb—O. Из табл. 1 четко видно, как с увеличением количества стронция уменьшаются эти различия в расстояниях $\Delta[\text{Nb}(1)—\text{O}_{0,5}]$ и $\Delta[\text{Nb}(2)—\text{O}_{0,5}]$. По мере выравнивания химических связей в октаэдрах синхронно увеличивается расщепление объединяющих октаэдры кислородов (O_{0,5}—O'_{0,5}).

Таблица 1

Межатомные расстояния в октаэдрах Nb соединений $Sr_xBa_{1-x}Nb_2O_6$

Параметры	$x = 0,50$	$x = 0,61$	$x = 0,75$	Параметры	$x = 0,50$	$x = 0,61$	$x = 0,75$
Октаэдр Nb(1)							
Nb(1)—O _{0,5} ×2, Å	1,814	1,834	1,924	Nb(2)—O _{0,5} ×2, Å	1,865	1,897	1,919
Nb(1)—O ₄ ×4, Å	1,958	1,959	1,958	Nb(2)—O ₄ ×4, Å	1,972	1,971	1,987
Nb(1)—O _{0,5} ×2, Å	2,155	2,128	2,053	Nb(2)—O _{0,5} ×2, Å	2,124	2,084	2,044
Δ[Nb(1)—O _{0,5}], Å	0,341	0,294	0,129	Δ[Nb(2)—O _{0,5}], Å	0,259	0,187	0,125
(O _{0,5} —O' _{0,5}) [*] ×2, Å	0,407	0,458	0,581	(O _{0,5} —O' _{0,5}) [*] ×2, Å	0,521	0,568	0,636
Литература	[12]	[16]	[18]				

* Расстояния между атомами кислорода O_{0,5}.

** Октаэдр Nb(2) находится в общем положении, и соответствующие расстояния усреднены.

Рассматривая структурные исследования соединений $Sr_xBa_{1-x}Nb_2O_6$, нельзя не остановиться особо на работе [13], в которой в кристаллах $Sr_{0,61}Ba_{0,39}Nb_2O_6$ установлена несоразмерная модуляция. Два вектора модуляции идут по диагональным направлениям базисной плоскости тетрагонального кристалла. Структура решалась в пятимерном суперпространстве. В эксперименте были измерены слабые сателлитные рефлексы первого порядка, что позволило уточнить модуляцию структуры только в гармоническом приближении. Максимальные модуляционные смещения имеют место у атомов O и достигают 0,5 Å. Авторы по имеющимся у них экспериментальным данным могли уточнить только упрощенную модель структуры, в которой атомы Ba и Sr в широких каналах статистически без расщепления занимают одну позицию.

ФИЗИЧЕСКИЕ СВОЙСТВА КРИСТАЛЛОВ $Sr_xBa_{1-x}Nb_2O_6$

Специальное исследование было посвящено анизотропии теплового расширения ниобата стронция—бария [19]. Для кристалла $Sr_{0,75}Ba_{0,25}Nb_2O_6$ получена линейная зависимость роста параметра a с температурой по закону $a = 12,436 + 0,0001093t$, где $t(^{\circ}\text{C})$ и более сложное убывание с температурой параметра $c = 3,917 - 2,9375 \cdot 10^{-5}t - 8,2433 \cdot 10^{-8}t^2$. Как следует из табл. 1, для кристалла этого состава имеет место максимальное выравнивание связей Nb—O в цепочках, простирающихся параллельно оси c . В работе [7] по порошковым данным установлена зависимость параметров элементарной ячейки кристаллов $Sr_xBa_{1-x}Nb_2O_6$ от их состава. В пикометрах (pm) соответствующие зависимости авторами аппроксимируются полиномами второго порядка $a = 1249,2 + 4,75x - 17,6x^2$ и $c = 401,55 - 11,70x - 2,41x^2$. Аналогично плотность в г/см³ записывается $\beta = 5,55 - 0,53x + 0,16x^2$, что, естественно, дает спад при увеличении количества стронция за счет соответствующего уменьшения бария. В работе [11], кроме определения атомной структуры соединения $Sr_{0,33}Ba_{0,67}Nb_2O_6$, описаны линейные и нелинейные оптические характеристики кристаллов $Sr_xBa_{1-x}Nb_2O_6$ с $x = 0,33, 0,46, 0,61$ и $0,75$. Измерены обычновенный n_o и необыкновенный n_e показатели преломления для кристаллов указанных составов на длинах волн излучения лазера YAG:Nd $\lambda_1 = 10642$ Å и его второй гармоники $\lambda_2 = 5321$ Å. Оказалось, что показатели n_o зависят от состава образцов весьма слабо и для $\lambda_1 n_o$ равняется для перечисленных выше составов 2,252, 2,251, 2,250 и 2,249 соответственно. Для $\lambda_2 n_o$ равняется 2,357, 2,355, 2,354, 2,356. Что касается показателей n_e , то они монотонно возрастают с увеличением стронция в образцах. Так, n_e для λ_1 имеет значения 2,210, 2,214, 2,222, 2,236, для λ_2 $n_e = 2,303, 2,311, 2,324, 2,343$. Такие зависимости показателей преломления от состава соединений ведут к тому, что двулучепреломление кристалла $Sr_{0,33}Ba_{0,67}Nb_2O_6$ более чем в 3 раза превосходит соответствующий показатель у $Sr_{0,75}Ba_{0,25}Nb_2O_6$.

Особое внимание привлекают нелинейные оптические свойства ниобатов стронция—бария. Фундаментальные исследования и использование этих соединений в квантовой электронике

ке стимулируют интерес к этим свойствам, которые поддаются целенаправленному изменению путем вариации состава кристаллов. В работе [11] на монокристаллах и в [20] на порошковых образцах составов $\text{Sr}_{0,75}\text{Ba}_{0,25}\text{Nb}_2\text{O}_6$, $\text{Sr}_{0,61}\text{Ba}_{0,39}\text{Nb}_2\text{O}_6$ и $\text{Sr}_{0,50}\text{Ba}_{0,50}\text{Nb}_2\text{O}_6$ приведены измерения интенсивности второй гармоники при облучении импульсным лазером YAG:Nd. Для оценки по полученным данным квадратичной нелинейной восприимчивости кристаллов в работе [20] в качестве эталонного образца использовали дигидрофосфат калия. Все параметры экспериментов были строго одинаковыми. Нелинейную восприимчивость вычисляли по соотношению $\chi_{2\omega}^2 = K(P_{2\omega}/P_\omega^2)$, где $P_{2\omega}$ и P_ω — интенсивности вторичного и первичного излучений соответственно. Одинаковые условия измерения исследуемых и эталонного образцов позволяли считать K постоянной величиной. Нелинейную восприимчивость $\chi_{2\omega}$ дигидрофосфата калия принимали за единицу, и восприимчивость исследуемых образцов определяли относительно этой величины. Измерения на каждом образце повторяли и усредняли. Полученные таким образом относительные значения квадратичной нелинейной восприимчивости оказались равны для $\text{Sr}_{0,75}\text{Ba}_{0,25}\text{Nb}_2\text{O}_6$ $\chi_{2\omega} = 2,2(4)$, для $\text{Sr}_{0,61}\text{Ba}_{0,39}\text{Nb}_2\text{O}_6$ $\chi_{2\omega} = 9,4(1,8)$ и для $\text{Sr}_{0,50}\text{Ba}_{0,50}\text{Nb}_2\text{O}_6$ $\chi_{2\omega} = 14,4(3,0)$. Генерация второй гармоники определяется квадратичной нелинейной восприимчивостью кристаллов. Такая генерация имеет чисто электронную природу и связана с асимметрией в распределении электронной плотности в образце. Структурные данные показывают, что максимум такой асимметрии имеет место в связях Nb—O, чередующихся параллельно оси 4 в этих кристаллах. Чередование более сильных и более слабых связей отвечает различию в электронной плотности на этих связях, что в структурных данных проявляется в разности расстояний $\Delta[\text{Nb}—\text{O}]$ и в ангармонизме тепловых колебаний атомов Nb. Именно ангармонизм в колебании электронов является причиной появления второй и более высоких гармоник при возбуждении кристалла гармоническим излучением. Из табл. 1 видно, как, меняя отношения стронция и бария в образце, можно целенаправленно изменять $\Delta[\text{Nb}—\text{O}]$ и интенсивность второй гармоники от соответствующего кристалла. Рассматривая связи состав—структура—свойства в кристаллах ниобата стронция—бария, следует помнить результаты работы [21], авторы которой наблюдали при отжиге кристаллов $\text{Sr}_{0,51}\text{Ba}_{0,49}\text{Nb}_2\text{O}_6$ некоторые перераспределения стронция по квадратным и пятиугольным каналам структуры без изменения состава образца. А это означает, что важен не только состав образца, но и его история: режим выращивания, термообработка и способ монодоменизации. Именно это может быть причиной расхождения у разных авторов прецизионных структурных данных по кристаллам $\text{Sr}_{0,61}\text{Ba}_{0,39}\text{Nb}_2\text{O}_6$.

СТРУКТУРА И ГЕНЕРАЦИЯ ВТОРОЙ ГАРМОНИКИ В КРИСТАЛЛАХ $\text{Sr}_x\text{Ba}_{1-x}\text{Nb}_2\text{O}_6$

Структурные исследования ниобатов стронция—бария показали, что вариации отношений количеств стронция и бария в них не изменяют основной структурный мотив кристаллов. Геометрия трехмерного каркаса из октаэдров Nb остается постоянной. Систематически меняются только положения атомов Nb в октаэдрах. Их отклонения от центров октаэдров связаны с чередованием более сильных и более слабых химических связей Nb—O в цепочках, параллельных оси 4 кристалла. Основная задача сводится к установлению корреляций между количеством стронция и бария в соединениях и изменениями химических связей в октаэдрах Nb. В структурном плане ответ следует искать в заселенностях средних и больших каналов кристаллов атомами Sr и Ba. В табл. 2 приведены значения заселенности этих каналов для всех рассмотренных выше кристаллов. Дополнительно в таблице даны значения расщепления позиций бария и стронция Ba—Sr(2) в широких каналах и расстояния Sr(2)—Sr'(2), локализованные с двух сторон от плоскости симметрии m в этих каналах. Заселенность квадратных каналов атомами Sr(1) можно в хорошем приближении считать одинаковой для всех исследованных составов этих соединений. Следовательно, структурная обусловленность изменения физических свойств кристаллов в зависимости от отношения количеств стронция и бария определяется заселенностями широких каналов. Из табл. 2 видно, как с ростом количества стронция систематически сокращаются расщепления позиций Ba и Sr(2) и расстояния между положениями атомов Sr(2)—Sr'(2) с разных сторон от плоскости m . Синхронно с этими сокращениями уменьша-

Таблица 2

Заселенность атомами Sr(1) квадратных каналов и атомами Ba и Sr(2) пятиугольных каналов в кристаллах $Sr_xBa_{1-x}Nb_2O_6$

Параметр	$x = 0,50$	$x = 0,61$	$x = 0,75$	Параметр	$x = 0,50$	$x = 0,61$	$x = 0,75$
Sr(1), %	72,0	72,5	71,5	Sr(2)—Sr(2'), Å	0,604	0,585	0,510
Ba, %	62,3	48,7	30,9	$\chi_{2\omega}^*$	14,4	9,4	2,2
Sr(2), %	$13,1 \times 2 = 26,2$	$20,2 \times 2 = 40,4$	$28,6 \times 2 = 57,2$	Литература	[12]	[16]	[18]
Ba—Sr(2), Å	0,335	0,305	0,263				

* Относительная величина квадратичной нелинейной восприимчивости кристаллов по данным [20].

ется разница расстояний Nb—O, а следовательно, и различие в чередующихся химических связях в цепочках —O=Nb—O=Nb—O= (см. табл. 1). Влияние на эти связи в октаэдрах Nb оказывает изменение баланса валентных усилий на мостиковых атомах кислорода, обусловленное вариацией количества стронция и бария в широких каналах структуры. Достаточно посмотреть, как ведут себя в разных кристаллах минимальные межатомные расстояния катионов Ba и Sr(2) с мостиковыми атомами кислорода цепочек, простирающихся в направлении оси 4. В соединении $Sr_{0,50}Ba_{0,50}Nb_2O_6$ соответствующие минимальные расстояния Ba—O и Sr(2)—O равны 2,843 и 2,783 Å, в $Sr_{0,61}Ba_{0,39}Nb_2O_6$ они 2,817 и 2,732 Å, а в $Sr_{0,75}Ba_{0,25}Nb_2O_6$ 2,769 и 2,719 Å. С увеличением количества стронция эти расстояния уменьшаются, соответствующие связи усиливаются, что и влияет на связи Nb—O в цепочках —O=Nb—O=Nb—. Сокращение различия в последовательности этих связей соответствует уменьшению асимметрии электронных плотностей на них. Со всеми этими зависимостями от количества стронция четко коррелируют относительные величины квадратичной нелинейной восприимчивости кристаллов, приведенных в табл. 2. Наиболее очевидным структурным параметром, указывающим на возможную генерацию второй гармоники, является ангармонизм тепловых колебаний атомов и связанная с ним асимметрия распределения электронной плотности на химических связях в кристаллах.

Работа выполнена при частичной финансовой поддержке ведущих научных школ НШ-2192.2008.5.

СПИСОК ЛИТЕРАТУРЫ.

- Бокий Г.Б. Кристаллохимия. – М.: Изд-во МГУ, 1960.
- Smolenskii G.A., Agranovskaya A.I. // Sov. Phys. Tech. Phys. – 1958. – **3**. – P. 1380.
- Choy M.M., Byer R.L. // Phys. Rev. B. – 1976. – **14**. – P. 1693.
- Dorosh I.R., Kuz'minov Yu.S., Polozkov N.M. et al. // Phys. Stat. Solid. A. – 1981. – **65**. – P. 513.
- Ewbank M.D., Neurgaonkar R.R., Cory W.K. et al. // J. Appl. Phys. – 1987. – **62**. – P. 374.
- Woike T., Petricek V., Dusek M. et al. // Acta Crystallogr. B. – 2003. – **59**. – P. 28.
- Podlozhenov S., Graetsch H.A., Schneider J. et al. // Ibid. – 2006. – **62**. – P. 960.
- Qiao Y., Orlov S., Psaltis D. et al. // Opt. Lett. – 1993. – **18**. – P. 1004.
- Ulex M., Pankratz R., Betzler K. J. // Cryst. Growth. – 2004. – **271**. – P. 128.
- Jamieson P.B., Abrahams S.C., Bernstein J.L. // J. Chem. Phys. – 1968. – **48**. – P. 5048.
- Андрейчук А.Е., Дорожкин Л.М., Кузьминов Ю.С. и др. // Кристаллография. – 1984. – **29**, № 6. – С. 1094.
- Черная Т.С., Волк Т.Р., Верин И.А. и др. // Там же. – 2002. – **47**, № 2. – С. 249.
- Woike T., Petricek V., Dusek M. et al. // Acta Crystallogr. B. – 2003. – **59**. – P. 28.
- Черная Т.С., Волк Т.Р., Максимов Б.А. и др. // Кристаллография. – 2003. – **48**, № 6. – С. 1000.
- Carrio J.G., Mascarenhas Y.P., Yelon W. et al. // Mater. Res. – 2002. – **5**(1). – P. 57.
- Черная Т.С., Максимов Б.А., Верин И.А. и др. // Кристаллография. – 1998. – **43**, № 6. – С. 1044.
- Черная Т.С., Максимов Б.А., Верин И.А. и др. // Там же. – 1997. – **42**, № 3. – С. 421.
- Черная Т.С., Максимов Б.А., Волк Т.Р. и др. // Физика твердого тела. – 2000. – **42**, № 9. – С. 1668.
- Qadri S.B., Bellotti J.A., Garzarella A. et al. // Appl. Phys. Lett. – 2005. – **86**. – P. 251914.
- Черная Т.С., Марычев М.О., Иванов В.А. и др. // Кристаллография. – 2007. – **52**, № 6. – С. 1092.
- Trubclja M.P., Ryba E., Smith D.K. // J. Mater. Sci. – 1996. – **31**. – P. 1435.